

# Angularni moment fisijskih fragmenata

Patricia Kranjčić \*

Fizički odsjek, Prirodoslovno-matematički fakultet, Bijenička 32, Zagreb

20. siječnja 2025.

## Sažetak

*Fisijski fragmenti imaju određenu raspodjelu angularnog momenta, koja utječe na proces njihove deekscitacije. Zbog važnosti angularnog momenta za potpun opis fisije, novijim istraživanjima proučava se njegova ovisnost o svojstvima fragmenata. U ovome radu, primjenom formalizma nuklearnih energijskih funkcionala gustoće u okviru Hartree-Fock-Bogoliubovljevog modela, proučena je neutronska inducirana fisija jezgre  $^{239}\text{Pu}$ . Korištenjem metode projekcije, izračunate su raspodjele angularnog momenta i broja nukleona u fragmentima. Za tri reprezentativne fragmentacije jezgre, pokazano je da srednja vrijednost angularnog momenta raste s njegovom deformacijom. Također, ovisnost srednje vrijednosti angularnog momenta o masi fragmenta u skladu je s eksperimentalno opaženim uzorkom zuba pile. Maksimumi raspodjele broja čestica u fragmentu pokazuju slaganje s vrijednostima dobivenima integracijom gustoće. Model bi se mogao proširiti uključivanjem većeg broja fragmentacija, istovremenom projekcijom na angularni moment i broj čestica te uključivanjem dinamičkih efekata. Na ovaj bi se način moglo dobiti raspodjele angularnog momenta za sve kombinacije broja čestica u fragmentima.*

## 1 Uvod

Nuklearna fisija proces je u kojem se teška atomska jezgra raspada na dva ili više fragmenata [1]. Dva su moguća načina na koja dolazi do fisije. U prvoj slučaju, jezgra se spontano raspada u probabilističkom procesu (spontana fisija). U drugome slučaju, raspad je inducirani međudjelovanjem jezgre i nekog projektila (inducirana fisija). Fisija je najčešće inducirana apsorpcijom termičkih neutrona, energija reda veličine eV, no mogu je inducirati i fotoni, protoni ili teški ioni. Razumijevanje fisije ključno je za temeljnu i primjenjenu znanost, a posebno u pitanjima proizvodnje energije i sigurnosti. Osim toga, fisija je važna i u astrofizici, npr. u procesima brzog uhvata neutrona kod kojih ograničava sintezu teških elemenata u svemiru [2].

Fisiju kao proces deformacije atomske jezgre, u kojem je jezgra predstavljena kao kapljica tekućine, uveo je Niels Bohr [3]. Taj koncept, uz korekcije koje uzimaju u obzir kvantne efekte više tijela, čini osnovu tzv. makroskopsko-mikroskopskog modela fisije. U okviru tog modela, moguće je izračunati ukupnu energiju atomske jezgre kao funkciju njezine multipolne deformacije, što vodi na opis fisije pomoći višedimenzionalne (hiper-) površine ukupne energije. Projekcija na jednu dimenziju, tzv. put fisije (engl. *fission path*) pokazuje deformirani minimum

energije (osnovno stanje) i meta-stabilni minimum koji se naziva fisijski izomer. Ta su dva minimuma razdvojena unutarnjom barijerom, a nakon izomera se nalazi vanjska barijera koja ga dijeli od područja još većih deformacija. Prelaskom vanjske barijere jezgra se sve više deformira i u konačnici dolazi do formiranja dvaju fragmenata [2].

Nastali fragmenti su u pobuđenom stanju, energije pobuđenja do 30 MeV, njihova je deformacija različita od deformacije osnovnog stanja i imaju određenu raspodjelu angularnih momenata. Nakon formiranja dvaju fragmenata, dolazi do njihove deekscitacije prema osnovnom stanju [2]. U početku, najefikasniji način za smanjivanje energije pobuđenja jest emisija neutrona. Nakon što energija fragmenta padne ispod energije potrebne za odvajanje jednog neutrona (engl. *one-neutron separation energy*), deekscitacija se tipično nastavlja emisijom fotona. Ova početna faza deekscitacije odvija se vrlo brzo, na vremenskoj skali od  $10^{-13}\text{s}$  (engl. *prompt particle emission*). Nakon emisije neutrona i fotona, neki će fragmenti biti nestabilni s obzirom na  $\beta$ -raspad. Posljedično, deekscitacija se nastavlja pretvorbom jezgrinog neutrona u proton, uz emisiju elektrona i antineutriona. Ova faza traje u vremenskom rasponu od nekoliko pikosekundi do nekoliko godina. Budući da jezgre dobivene  $\beta$ -raspadom također mogu biti u pobuđenom stanju, deekscitacija se često nastavlja emitiranjem dodatnih neutrona i fotona (engl.  *$\beta$ -delayed*

\*pkranjci.phy@pmf.hr

*emission*). U konačnici, proizvedeni se fragmenti (engl. *fission product yields*) razlikuju i po neutronskom i po protonskom broju od početnih pobuđenih fragmenata (engl. *primary fission yields*) [2].

Teorija nuklearnih energijskih funkcionala gustoće (EDF, od engl. *energy density functional theory*) predstavlja jedini mikroskopski<sup>1</sup> okvir za opis nuklearne fisije [2]. U svojoj osnovnoj inačici, EDF teorija ekvivalentna je teoriji srednjega polja, u kojem je kompleksno međudjelovanje sustava mnoštva čestica svedeno na jednočestični problem nukleona u potencijalu srednjega polja. U ovoj aproksimaciji, valna funkcija atomske jezgre odgovara Slaterovoj determinanti neovisnih čestica, a očekivana vrijednost operatora Hamiltonijana u ovom stanju daje energijski funkcional gustoće. Taj je funkcional parametriziran s desetak parametara čije su vrijednosti određene prilagodbom na odabrani skup eksperimentalnih podataka. Takav je model potom primjenjiv duž čitave karte nuklida. EDF teorija i njena proširenja dosad su uspješno primjenjeni pri opisu svojstava osnovnog i pobuđenih stanja atomske jezgre [4, 5, 6], kao i pri opisu nuklearnih reakcija [7, 8].

EDF modeli pokazali su se uspješnim u predviđanju različitih aspekata procesa fisije, od vremena poluživota u spontanoj fisiji [9], preko raspodjela masa i naboja fragmenata [10, 11], do dijeljenja energije među fragmentima [12, 13]. U posljednje vrijeme, razvoj novih teorijskih metoda i povećana dostupnost računalnih resursa učinili su EDF primjenjivim i na opis angулarnog momenta fisijskih fragmenata [14, 15, 16, 17]. Motivirani novim preciznim mjerjenjima [18], teorijski su se modeli uglavnom fokusirali na opis najvjerojatnije fragmentacije te na pitanja načina generiranja angулarnog momenta u fragmentima i korelacija među njima. S druge strane, početna raspodjela angулarnog momenta u fragmentima ima značajan utjecaj na proces njihove deekscitacije, a posebno na smjer emitiranih neutrona i broj emitiranih fotona. Zbog toga su raspodjele za čitav spektar formiranih fragmenata, a ne samo za najvjerojatniju fragmentaciju, sastavni dio statističkih modela koji opisuju deekscitaciju fragmenata [19, 20]. Međutim, teorijski opis ovih raspodjela temeljen na mikroskopskoj teoriji još uvek nije dostupan, stoga se u praksi koriste fenomenološke raspodjele koje često nisu dovoljno pouzdane.

U ovom radu opisan je i primjenjen EDF model koji predstavlja značajan korak prema određivanju raspodjela angulkarnog momenta u fragmentima temeljenih na mikroskopskoj teoriji. Struktura rada je sljedeća: u drugom poglavlju opisan je teorijski okvir, uključujući osnove teorije funkcionala gustoće, metodu ponovnog uspostavljanja slomljenih simetrija te osnovne postavke opisa fisijskih fragmenata. U trećem poglavlju, model je primjenjen pri opisu raspodjele angulkarnog momenta u frag-

mentima nastalim neutronski induciranim fisijom jezgre  $^{239}\text{Pu}$ . Posljednje poglavlje donosi zaključak i plan daljnog istraživanja.

## 2 Teorijska podloga

### 2.1 Hartree-Fock-Bogoliubov teorija

U nuklearnoj fizici, teorija energijskih funkcionala gustoće najčešće je primjenjena u okviru Hartree-Fock-Bogoliubovljevog (HFB) modela [21]. HFB model predstavlja proširenje Hartree-Fock (HF) teorije koje uključuje korelacije sparivanja. Ove su korelacije neophodne u slučaju otvorenih ljsaka (kad jezgra nema magičan broj protona ili neutrona), a posebno su važne pri opisu fisije.

Za opis čestičnog dijela i sparivanja koristi se koncept kvazičestica, koje su linearna kombinacija čestica i supljina. Matematički formalizam teorije temeljen je na Bogoliubovljevoj transformaciji, koja povezuje čestične operatore stvaranja i poništenja ( $c_m^\dagger, c_m$ ) s kvazičestičnim ( $\beta_\mu^\dagger, \beta_\mu$ ):

$$\beta_\mu = \sum_m [U_{\mu m}^\dagger c_m + V_{\mu m}^\dagger c_m^\dagger], \quad (1)$$

$$\beta_\mu^\dagger = \sum_m [V_{\mu m}^T c_m + U_{\mu m}^T c_m^\dagger]. \quad (2)$$

U matričnom obliku može se zapisati kao:

$$\begin{pmatrix} \beta \\ \beta^\dagger \end{pmatrix} = \begin{pmatrix} U^\dagger & V^\dagger \\ V^T & U^T \end{pmatrix} \begin{pmatrix} c \\ c^\dagger \end{pmatrix} = \mathcal{W}^\dagger \begin{pmatrix} c \\ c^\dagger \end{pmatrix}. \quad (3)$$

Pri tome je matrica  $\mathcal{W}$ :

$$\begin{pmatrix} U & V^* \\ V & U^* \end{pmatrix} \quad (4)$$

hermitska jer kvazičestični operatori trebaju zadovoljavati jednakе komutacijske relacije kao i čestični. Osnovno stanje  $|\Phi\rangle$  vakuum je s obzirom na kvazičestice:

$$\beta_\mu |\Phi\rangle = 0 \quad (5)$$

koji se može konstruirati iz čestičnog vakuuma  $|0\rangle$  na način:

$$|\Phi\rangle = \prod_\mu \beta_\mu |0\rangle \quad (6)$$

za svaki  $\mu$  iz konfiguracijskog prostora. Valne funkcije koje zadovoljavaju uvjet (5) nazivaju se HFB valnim funkcijama. Kako one ne određuju koeficijente  $U_{\mu m}$  i  $V_{\mu m}$  na jedinstven način, uvode se matrica gustoće  $\rho$  i tenzor sparivanja  $\kappa$ :

$$\rho_{kl} = \frac{\langle \Phi | c_l^\dagger c_k | \Phi \rangle}{\langle \Phi | \Phi \rangle}, \quad \kappa_{kl} = \frac{\langle \Phi | c_l c_k | \Phi \rangle}{\langle \Phi | \Phi \rangle}. \quad (7)$$

<sup>1</sup>Mikroskopskim modelom nazivamo teorijski okvir u kojem se eksplicitno pojavljuju nukleonski stupnjevi slobode, kao i sile među nukleonima.

Pomoću transformacije (3) operatori ( $c$ ,  $c^\dagger$ ) se mogu izraziti preko ( $\beta$ ,  $\beta^\dagger$ ). Matrično se  $\rho$  i  $\kappa$  mogu zapisati kao:

$$\rho = V^*V^T, \quad \kappa = V^*U^T. \quad (8)$$

Hamiltonian je:

$$H = \sum_{ij} t_{ij} c_i^\dagger c_j + \frac{1}{4} \sum_{ijkl} \bar{v}_{ijkl} c_i^\dagger c_j^\dagger c_l c_k, \quad (9)$$

pri čemu  $t_{ij}$  opisuje kinetičku energiju, a  $\bar{v}_{ijkl}$  dvočestično međudjelovanje. Energija, odnosno očekivana vrijednost Hamiltonijana može se izraziti kao funkcional od  $\rho$ ,  $\kappa$  i  $\kappa^*$  kao:

$$\begin{aligned} \mathcal{E} = \frac{\langle \Phi | H | \Phi \rangle}{\langle \Phi | \Phi \rangle} &= \sum_{ij} t_{ij} \rho_{ji} + \frac{1}{2} \sum_{ijkl} \bar{v}_{ijkl} \rho_{lj} \rho_{ki} \\ &+ \frac{1}{4} \sum_{ijkl} \bar{v}_{ijkl} \kappa_{ij}^* \kappa_{kl}. \end{aligned} \quad (10)$$

Varijacija  $\mathcal{E}$  po  $\rho$ ,  $\kappa$  i  $\kappa^*$  daje HFB jednadžbe, koje se rješavaju tražeći svojstvene vrijednosti  $E_\mu$  i svojstvene vektore ( $U_\mu$ ,  $V_\mu$ ) jednadžbe:

$$\begin{pmatrix} h & \Delta \\ -\Delta^* & -h^* \end{pmatrix} \begin{pmatrix} U_\mu \\ V_\mu \end{pmatrix} = E_\mu \begin{pmatrix} U_\mu \\ V_\mu \end{pmatrix}, \quad (11)$$

gdje su  $h$  Hartree-Fock Hamiltonian, a  $\Delta$  polje sparivanja, definirani kao:

$$h_{nm} = \frac{\partial \mathcal{E}}{\partial \rho_{mn}}, \quad \Delta_{mn} = \frac{\partial \mathcal{E}}{\partial \kappa_{mn}^*}. \quad (12)$$

Zbog aproksimacija u teorijama srednjeg polja kao što je i HFB teorija, dobivene valne funkcije nemaju dobro definirane kvantne brojeve. Kako bi se taj problem riješio koriste se metode ponovnog uspostavljanja simetrija.

## 2.2 Ponovno uspostavljanje simetrija

Nelinearnost jednadžbi srednjeg polja pogoduje mehanizmu slamanja simetrija sustava. Nakon takvog slamanja simetrija, rezultantne valne funkcije nisu invarijantne ni kovarijantne s obzirom na grupu slomljenih simetrija. Zbog toga im se ne mogu pridružiti dobri kvantni brojevi.

Simetrije se mogu ponovo uspostaviti primjenom elemenata grupe simetrija na "deformirane" valne funkcije, čime se dobivaju linearne kombinacije novih valnih funkcija, ispravnih težinskih faktora. Ako su težinski faktori dobro odabrani, dobivene valne funkcije postaju invarijantne ili kovarijantne s obzirom na grupu simetrija te im se mogu pridružiti prikladni kvantni brojevi. To je tzv. uspostavljanje simetrija ili projekcija. Projekcije se temelje na tome što su težinski faktori zadani ireducibilnim reprezentacijama grupe simetrija.

Ponovno uspostavljanje simetrija može se provesti na dva načina, projekcijom nakon varijacije, odnosno rješavanja jednadžbi, ili varijacijom nakon projekcije. U ovome radu, koristi se metoda projekcije nakon varijacije. U tom se slučaju varijacija provodi u dva koraka, najprije se odredi intrinzično stanje, a zatim se energija minimizira unutar potprostora stanja koja su invarijantna s obzirom na grupu simetrija i mogu se dobiti projekcijom od intrinzičnog stanja [22].

U ovom radu koristimo se projekcijom na dobar angularni moment (AMP, od engl. *angular-momentum projection*) i projekcijom na dobar broj čestica (PNP, od engl. *particle-number projection*). Projekcija na dobar čestica radi se odvojeno od one na dobar angularni moment. Simetrija povezana s angularnim momentom je 3D rotacija, dok je za broj čestica rotacija u baždarnom prostoru. Grupa za 3D rotacije je neabelovska i rotacije su karakterizirane Eulerovim kutovima  $\Omega = (\alpha, \beta, \gamma)$ . Grupni element je zadan operatorom:

$$\hat{R}(\Omega) = e^{-i\alpha\hat{J}_z} e^{-i\beta\hat{J}_y} e^{-i\gamma\hat{J}_z}. \quad (13)$$

Generalizirani operator projekcije u tom je slučaju:

$$\begin{aligned} \hat{P}_{MK}^J &= \frac{2J+1}{16\pi^2} \int_0^{2\pi} d\alpha \int_0^\pi d\beta \sin\beta \int_0^{4\pi} d\gamma \times \\ &\times D_{MK}^{J*}(\Omega) \hat{R}(\Omega), \end{aligned} \quad (14)$$

pri čemu je  $J$  kvantni broj ukupnog angularnog momenta,  $M, K \in \{-J, \dots, J\}$  kvantni brojevi njegove projekcije na os kvantizacije, a  $D_{MK}^J(\Omega)$  Wignerove  $D$ -funkcije [23]:

$$D_{MK}^J(\Omega) = e^{-i\alpha M} d_{MK}^J(\beta) e^{-i\gamma K}. \quad (15)$$

Ovi operatori, prema teoriji grupe, djeluju tako da vrijedi:

$$\hat{R}(\Omega) |JM\lambda\rangle = \sum_K D_{MK}^J(\Omega) |JK\lambda\rangle, \quad (16)$$

gdje je  $|JM\lambda\rangle$  potpun skup ortogonalnih stanja, koja su svojstvena stanja operatora  $\hat{J}^2$  i  $\hat{J}_z$ , a  $\lambda$  predstavlja sve preostale kvantne brojeve. Budući da operatori zadovoljavaju relaciju potpunosti, mogu se zapisati kao:

$$\hat{P}_{MK}^J = \sum_\lambda |JM\lambda\rangle \langle JK\lambda|, \quad (17)$$

iz čega je vidljivo da je samo dijagonalna komponenta  $\hat{P}_{KK}^J$  projektor u pravom smislu riječi.

Grupa rotacija u baždarnom prostoru je abelovska i operator za projekciju na dobar broj čestica je:

$$\hat{P}^N = \frac{1}{2\pi} \int d\phi e^{-i\phi(\hat{N}-N)}. \quad (18)$$

Ovdje je  $\hat{N}$  operator broja za neutrone ili protone, a  $N$  broj čestica na koji projiciramo.

U računima je pretpostavljena aksijalna simetrija, zbog čega su integrali po  $\alpha$  i  $\gamma$  u formuli (14) trivijalni pa preostaje samo integracija po  $\beta$ . To ne predstavlja bitno ograničenje jer se triaksijalni efekti često mogu zanemariti. Uz tu pretpostavku, raspodjela angularnog momenta je:

$$|c_q(J)|^2 = \frac{2J+1}{2} \int_0^\pi d\beta \sin\beta d_{00}^{J*}(\beta) \mathcal{N}_q(\beta), \quad (19)$$

koja je normalizirana na 1 i u kojoj je  $\mathcal{N}_q(\beta)$  preklop, definiran na način:

$$\mathcal{N}_q(\beta) = \langle \Phi_q | \exp(-i\beta \hat{J}_y) | \Phi_q \rangle, \quad (20)$$

gdje je  $\hat{J}_y$   $y$  komponenta operatora angularnog momenta, a  $|\Phi_q\rangle$  predstavlja odabranu HFB konfiguraciju, za koju se provodi račun. Za preklop vrijedi separabilnost u izospinu:

$$\mathcal{N}_q(\beta) = \mathcal{N}_q^{(\tau=n)}(\beta) \times \mathcal{N}_q^{(\tau=p)}(\beta). \quad (21)$$

### 2.3 Svojstva fizijskih fragmenata

Početni korak pri računu raspodjela angularnog momenta u fizijskim fragmentima jest određivanje odgovarajućih HFB konfiguracija. U ovome radu, račun provodimo za nekoliko konfiguracija na liniji cijepanja (engl. *scission line*), koja odvaja konfiguracije koje opisuju složenu jezgru (engl. *compound nucleus*) od konfiguracija koje opisuju dva fragmenta. Takve konfiguracije cijepanja odgovaraju strukturama u kojima dva fragmenta nisu u potpunosti odvojena, nego su povezana tankim vratom. Valja napomenuti da u ovakovom modelu nije moguće dobiti dva potpuno odvojena fragmenta jer bi u tom slučaju varijacijski princip dao dvije jezgre u njihovim osnovnim stanjima.

Čest kriterij [24], primjenjen i u ovom radu, jest da HFB konfiguracija  $|\Phi_q\rangle$  odgovara konfiguraciji cijepanja ukoliko je

$$q_N \equiv \langle \Phi_q | \hat{Q}_N | \Phi_q \rangle \leq q_N^{\text{sciss}}, \quad (22)$$

gdje je  $\hat{Q}_N$  operator broja nukleona u vratu, a  $q_N^{\text{sciss}}$  parametar. Na ovaj način, konfiguracije cijepanja definirane su kao skup svih stanja  $|\Phi_q\rangle$  takvih da je:  $q_N > q_N^{\text{sciss}}$  i barem jedan od njihovih susjeda smješteniza linije cijepanja. U ovom računu smo uzeli  $q_N^{\text{sciss}} = 3$ .

Budući da konfiguracije na liniji cijepanja imaju aksijalno simetričnu gustoću oblika bućice, mogu se razdvojiti na teži ( $z < z_N$ ) i lakši ( $z > z_N$ ) fragment, gdje je  $z_N$  minimum raspodjеле gustoće. Analogno jednadžbi (19) koja opisuje raspodjelu angularnog momenta u čitavoj jezgri, raspodjela u fizijskom fragmentu može se izračunati kao [14, 15]:

$$|c_q(J_F)|^2 = \frac{2J_F+1}{2} \int_0^\pi d\beta \sin\beta d_{00}^{J_F*}(\beta) \mathcal{N}_q^F(\beta), \quad (23)$$

uz pripadni preklop:

$$\mathcal{N}_q^F(\beta) = \langle \Phi_q | \exp(-i\beta \hat{J}_y^F) | \Phi_q \rangle. \quad (24)$$

Oznaka  $F$  služi za raspoznavanje raspodjele težeg ( $F = T$ ) i lakšeg ( $F = L$ ) fragmenta, a  $q$  označava ovisnost raspodjеле o pojedinoj HFB konfiguraciji. Tu je  $\hat{J}^F$  definiran kao:

$$\hat{J}_y^F(\mathbf{r}, \sigma) = \Theta^{F*}(z - z_N) \hat{J}_y(\mathbf{r}, \sigma) \Theta^F(z - z_N), \quad (25)$$

uz prostornu ovisnost o  $\mathbf{r}$  i spinsku ovisnost  $\sigma$ . Theta funkcija služi za ograničavanje na dio prostora koji je određen za teži i lakši fragment, tako da je  $\Theta^T(z - z_N) = 1 - \mathcal{H}(z - z_N)$ , a  $\Theta^L(z - z_N) = \mathcal{H}(z - z_N)$ . Ovdje je  $\mathcal{H}(z)$  Heavisideova step funkcija. Osim toga, prilikom računa potrebno je prostornu ovisnost  $\mathbf{r}$  promijeniti u  $\mathbf{r} - \mathbf{r}_{CM}^F$ , tako da se angularni moment odredi s obzirom na centar mase svakog fragmenta.

Procjena broja nukleona u svakom fragmentu može se dobiti integracijom ukupne gustoće po odgovarajućem potprostoru. Zbog toga što je dobiveni broj necjelobrojan, potrebno je provesti projekciju na dobar broj čestica, ponovo prema teoriji ponovnog uspostavljanja simetrija. Puna raspodjela broja protona i neutrona u fragmentima je:

$$|c_q(N_F, Z_F)|^2 = \langle \Phi_q | \hat{P}^{N_F} \hat{P}^{Z_F} \hat{P}^{N_0} \hat{P}^{Z_0} | \Phi_q \rangle, \quad (26)$$

gdje su operatori  $\hat{P}^{N_F}, \hat{P}^{Z_F}, \hat{P}^{N_0}, \hat{P}^{Z_0}$  definirani jednadžbom (18),  $N_F$  i  $Z_F$  odgovaraju broju neutrona i protona u fragmentima, a  $N_0$  i  $Z_0$  broju neutrona i protona u čitavoj jezgri. Operator broja čestica u fragmentima definiran je analogno jednadžbi (25). Valja napomenuti da bi jednadžba (26) načelno mogla dati četverostruku raspodjelu. Međutim, u praksi nas zanima samo ona komponenta u kojoj projicirani brojevi nukleona  $N_0$  i  $Z_0$  odgovaraju stvarnom broju nukleona u ukupnoj jezgri. Raspodjele (23) i (26) normalizirane su na 1.

Koristeći raspodjelu za  $J$  možemo izračunati srednju vrijednost angularnog momenta u fragmentima  $\langle J_F \rangle$ :

$$\langle J_F \rangle (\langle J_F \rangle + 1) = \sum_{J_F} |c_q(J_F)|^2 J_F (J_F + 1). \quad (27)$$

Odvojene raspodjele za  $N$  i  $Z$  dobivaju se marginalizacijom po komplementarnom izospinu:

$$|c_q(N_F)|^2 = \sum_{Z_F} |c_q(N_F, Z_F)|^2, \quad (28)$$

$$|c_q(Z_F)|^2 = \sum_{N_F} |c_q(N_F, Z_F)|^2. \quad (29)$$

Fizijski fragmenti na liniji cijepanja su deformirani, i ta je deformacija tipično različita od deformacije osnovnog stanja jezgre. Za kvantifikaciju kvadrupolne deformacije obično se koristi bezdimenzionalni parametar deformacije:

$$\beta_2^F = \sqrt{\frac{5}{16\pi}} \frac{4\pi}{3A_F R_F^2} q_{20}^F, \quad (30)$$

gdje je  $R_F = 1.2A_F^{1/3}$  [15].

## 2.4 Trostruka projekcija i dinamički efekti

Opisani model razmatra odvojene projekcije na angularni moment i broj čestica. Međutim, moguća je i istovremena projekcija koja bi rezultirala trostrukom raspodjelom u svakom fragmentu svake HFB konfiguracije:

$$|c_q(J_F, N_F, Z_F)|^2 = \langle \Phi_q | \hat{P}^{J_F} \hat{P}^{N_F} \hat{P}^{Z_F} \hat{P}^{N_0} \hat{P}^{Z_0} | \Phi_q \rangle. \quad (31)$$

Ovakav je pristup u srži statičan i ne uzima u obzir vjerojatnost da jezgra dinamičkom evolucijom završi u bilo kojoj od HFB konfiguracija. Ta bi se vjerojatnost mogla izračunati koristeći vremenski ovisnu metodu generirajućih koordinata (engl. *time-dependent generator coordinate method*) [2]. Kombiniranjem tih vjerojatnosti s trostrukom raspodjelom može se dobiti raspodjela angularnog momenta za sve kombinacije broja čestica u fizijskim fragmentima, što bi bio prvi takav rezultat temeljen na mikroskopskoj teoriji. Te bi se raspodjele potom mogle koristiti kao ulazni podaci statističkih modela koji simuliraju deekscitaciju fizijskih fragmenata [19, 20]. Međutim, takav je račun iznimno numerički zahtjevan, stoga zahtjeva snažnu optimizaciju i paralelizaciju koda te njegovo pokretanje na superračunalu. Zbog toga ćemo se u ovom radu zadržati na ilustrativnom primjeru odvojenih projekcija, a prošireni model ostaviti za nastavak istraživanja.

## 3 Račun i rezultati

### 3.1 Numeričke metode i detalji računa

Račun je proveden koristeći računalni program HFBTHO [25]. Kod je napisan u Fortranu 2003 te je paraleliziran OpenMP i MPI metodama, što znatno ubrzava izvršavanje.

Tablica 1: Karakteristične vrijednosti ukupne mase, broja protona i neutrona te kvadrupolne i oktupolne deformacije, za svaki fragment iz triju razmatranih konfiguracija.

Oznaka za konfiguraciju fizijskih fragmenata (FF)	FF1 FF2 FF3					
Oznaka za teži (TFF) ili lakši (LFF) fizijski fragment	TFF1	LFF1	TFF2	LFF2	TFF3	LFF3
Masa fragmenta $A_F$	136.10	103.90	121.20	118.80	152.51	87.49
Broj protona $Z_F$	52.43	41.57	47.43	46.57	89.24	34.76
Broj neutrona $N_F$	83.67	62.33	73.77	72.23	63.27	52.73
Kvadrupolni moment $q_{20}$ [ $b$ ]	4.62	13.5	27.35	27.06	18.35	12.24
Oktupolni moment $q_{30}$ [ $b^{3/2}$ ]	1.07	-1.14	2.25	-2.22	4.19	-1.30
Parametar kvadrupolne deformacije $\beta_2^F$	0.12	0.54	0.85	0.86	0.39	0.65

Računi su pokretani na računalnom klasteru Zavoda za teorijsku fiziku.

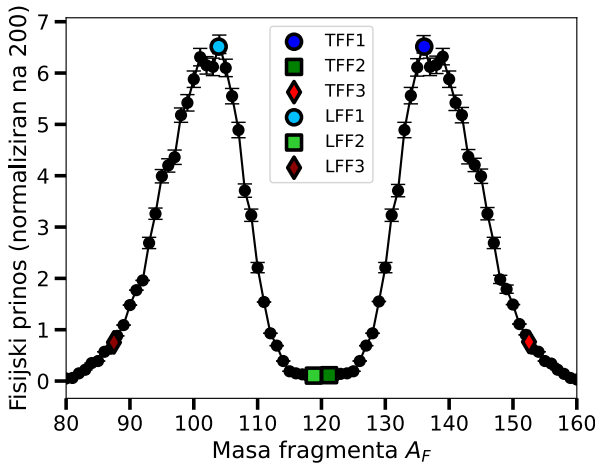
HFB račun zahtjeva odabir konkretne parametrizacije funkcionala gustoće. U ovom je radu korištena Skyrme SkM\* interakcija [26], koja je standardan odabir pri proučavanju fisije. Nuklearne valne funkcije razvijene su u bazi deformiranog harmoničkog oscilatora od 1200 stanja iz 30 oscilatorskih ljudsaka. Ovakav odabir omogućuje zadovoljavajuću konvergenciju rezultata, uz priuštiv računalni trošak.

U ovom radu račun je proveden za jezgru  $^{240}\text{Pu}$ , koja predstavlja fisiju jezgre  $^{239}\text{Pu}$  inducirano termičkim neutronom. Za tri konfiguracije na liniji cijepanja proveli smo račun kojim smo dobili podatke o raspodjeli angularnog momenta. Za jednu od tih kombinacija proveli smo i PNP, kojim smo dobili podatke o raspodjeli broja nukleona u fragmentima. Broj kutova  $\beta$  koji je korišten pri AMP je 60, a broj kutova  $\phi$  za PNP je 31. Takav odabir daje izvrsnu konvergenciju projiciranog računa.

### 3.2 Svojstva odabranih konfiguracija

Odabrane se konfiguracije razlikuju po broju neutrona i protona u fragmentima, kao i po deformacijama fragmenta. Pri određivanju konfiguracija ograničili smo kvadrupolni ( $q_{20}$ ) i oktupolni ( $q_{30}$ ) multipolni moment u HFB računu. Za parove težeg fizijskog fragmenta (TFF) i lakšeg (LFF) koji čine pojedinu konfiguraciju vrijednosti su navedene u Tablici 1. Vrijednosti  $A_F$  i  $Z_F$  fragmenata dobivene su integracijom gustoće od područja vrata prema lijevo ili desno, ovisno o fragmentu, pa su zbog toga necjelobrojne. Broj neutrona dobije se kao razlika atomske mase i broja protona. Parametar deformacije  $\beta_2^F$  izračunat je prema jednadžbi (30).

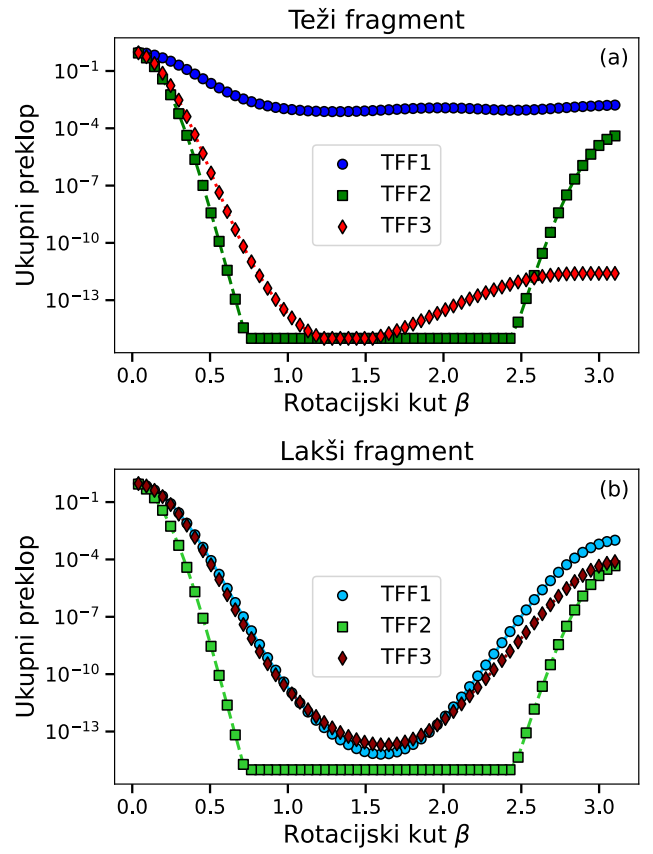
Odabrane konfiguracije su reprezentativni slučajevi, svaki s različitom vjerojatnošću da se dogode u fisiji. Na Slici 1 prikazani su eksperimentalni podaci za fisiski prinos (engl. *fission yields*) za fisiju  $^{239}\text{Pu}$  inducirano termalnim neutronom [27]. Raspodjela je simetrična i ima maksimum za fragmentaciju  $A_T = 136, A_L = 104$ , dok je vjerojatnost očekivanja simetričnih fragmentacija iznimno mala. Na slici su dodatno označene i konfiguracije iz Tablice 1. Konfiguracija FF1 je blizu najvjerojatnije fragmentacije, FF2 je u blizini potpuno simetrične fisije, a FF3 predstavlja slučaj velike asimetrije u raspodu.



Slika 1: Izmjereni fisijski prinos (normaliziran na 200) u neutronski induciranoj fisiji jezgre  $^{239}\text{Pu}$  [27] (prikazan crno). Dodatno su označene konfiguracije iz Tablice 1.

### 3.3 Raspodjele angularnog momenta u fisijskim fragmentima

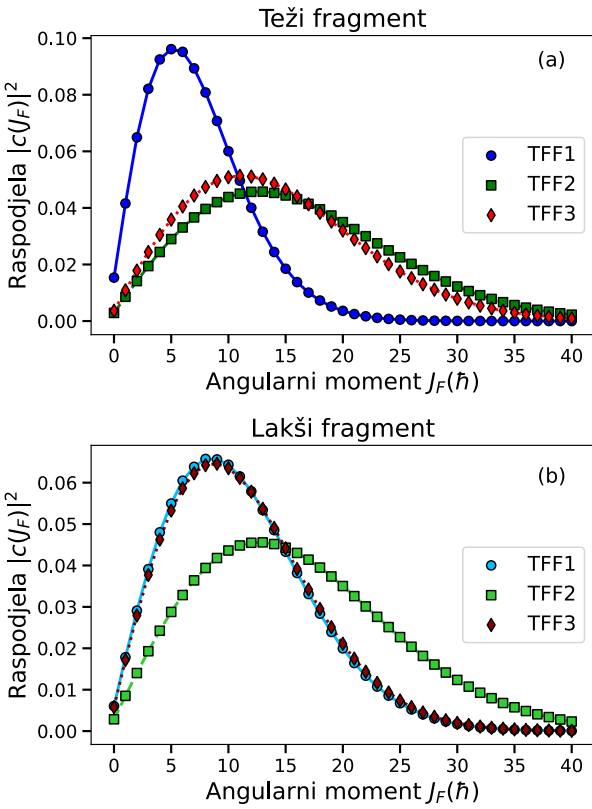
Za račun raspodjela angularnog momenta najprije je potrebno izračunati preklop između polaznog HFB stanja i stanja rotiranog za različite kutove  $\beta$ , prema jednadžbi (24). Slika 2 prikazuje ukupni preklop u ovisnosti o rotacijskom kutu (dobiven množenjem preklopa za neutrone i protone jer vrijedi relacija (21)). Navedene su oznake za svaki fragment iz čega se mogu isčitati svojstva prema Tablici 1. Preklopi su realni te, po očekivanju, sporije padaju za konfiguracije koje su manje deformirane. To znači da su samo manji rotacijski kutovi relevantni u računu. U granici potpuno sferičnog fragmenta preklop bi bio konstantan (iznosio bi 1). Razlog tomu je što je takvo stanje već svojstveno stanje operatora angularnog momenta pa projekcija na dobar angularni moment nema nikakav utjecaj. Odgovarajuća raspodjela za taj slučaj je 1 za  $J = 0$  i 0 za sve ostale angularne momente.



Slika 2: Ovisnost preklopa (jednadžba (24)) o vrijednosti rotacijskog kuta  $\beta \in [0, \pi]$  za teži (gore) i lakši (dolje) fragment u triju konfiguracijama iz Tablice 1. Vrijednosti manje od  $10^{-15}$  prikazane su s tom vrijednostima jer varijacije ispod tog broja nemaju fizikalnog značenja.

Na Slici 3 prikazane su raspodjele angularnog momenta. Prethodno prikazani preklopi ulaze u integral koji daje ove raspodjele (prema jednadžbi (23)). Posebno su prikazane ovisnosti za teže i lakše fragmente, za svaku od triju konfiguracija. Nijanse iste boje korištene su za prikaz fragmenata iz iste konfiguracije (plava za FF1, zelena za FF2 i crvena za FF3).

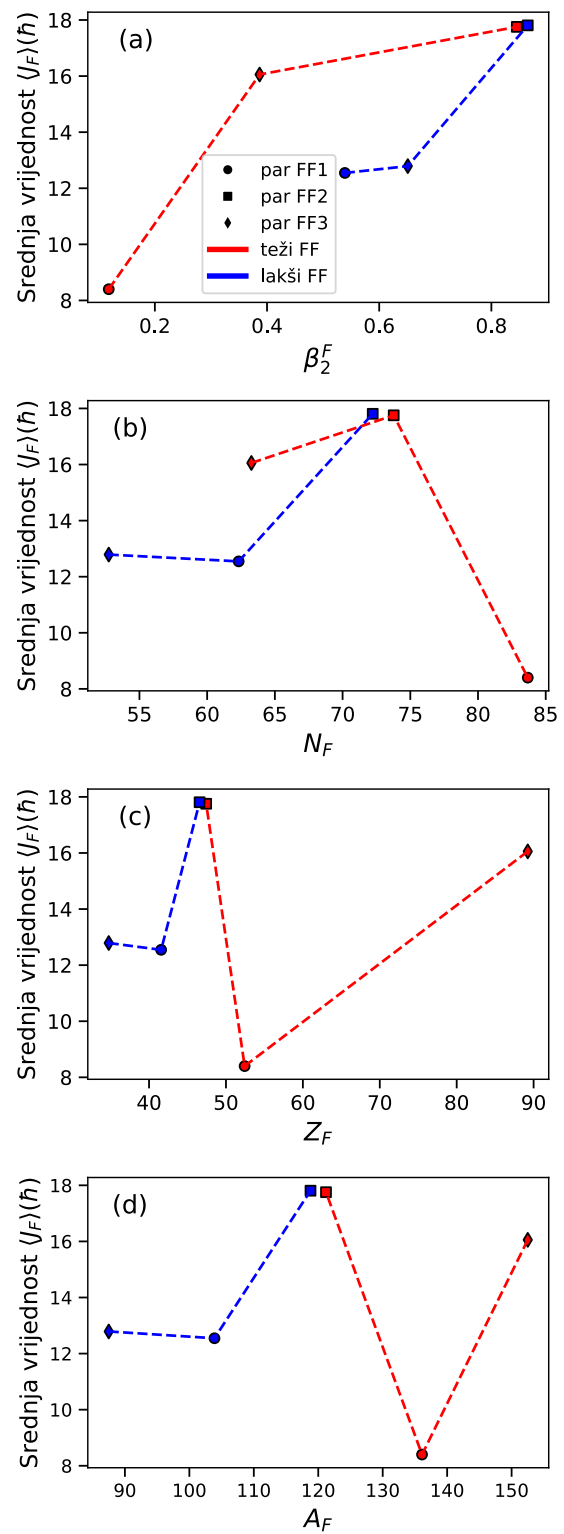
Vidljivo je da raspodjele ovise o svojstvima fragmenta. Teži fragment u blizini najvjerojatnije fragmentacije (TFF1) ima maksimum raspodjele na  $J_F = 5\hbar$ , dok je raspodjela odgovarajućeg laksog fragmenta (LFF1) pomaknuta prema nešto većim vrijednostima angularnog momenta. Gotovo simetrične fragmentacije (TFF2 i LFF2) iznimno su deformirane (Tablica 1) te su, po očekivanju, odgovarajuće raspodjеле vrlo slične. Teži fragment asimetrične fragmentacije (TFF3) nosi značajan angularni moment, dok je odgovarajući laki fragment (LFF3) sličniji onome iz prve konfiguracije.



Slika 3: Raspodjele angularnog momenta (jednadžba (23)) za teži (gore) i laksi (dolje) fragment u trima konfiguracijama iz Tablice 1.

Kako bismo kvantificirali ove razlike, na Slici 4 prikazana je srednja vrijednost angularnog momenta (jednadžba (27)) u ovisnosti o kvadrupolnoj deformaciji fragmenta  $\beta_2^F$  (panel (a)), broju neutrona  $N_F$  (panel (b)), protona  $Z_F$  (panel (c)) i masi  $A_F$  (panel (d)). Crvenom bojom označen je teži fragment iz konfiguracije, a plavom laksi. Također, fragmenti koji čine "par", odnosno pripadaju istoj konfiguraciji prikazani su istim simbolom.

Sa Slike 4(a) vidljivo je da za teže i lakše fragmente srednja vrijednost angularnog momenta raste s deformacijom fragmenta. Konkretnu korelaciju možemo kvantificirati koristeći Pearsonov koeficijent korelacija. Dobivena vrijednost za korelaciju težih i laksih fragmenata zajedno je 0.81, što ukazuje na porast  $\langle J_F \rangle$  s porastom  $\beta_2^F$ . Osim toga, dobivena  $p$ -vrijednost za tu korelaciju iznosila je 0.049, što znači da je korelacija statistički značajna. Odvojenim računom Pearsonovog koeficijenta dobiva se 0.87 za teže fragmente i 0.95 za lakske fragmente. To znači da je korelacija veća ako gledamo odvojeno ovisnost  $\langle J_F \rangle$  o  $\beta_2^F$  u težim i laksim fragmentima. Za teže fragmente  $p$ -vrijednost je 0.31, a za lakske 0.19, što znači da te korelacije nisu toliko statistički značajne. Valja napomenuti da je to očekivano jer se radi o malom broju točaka i račun je samo ilustrativan.



Slika 4: Ovisnost srednje vrijednosti angularnog momenta o deformaciji fragmenta  $\beta_2^F$ , broju neutrona  $N_F$ , broju protona  $Z_F$  i ukupnoj masi fragmenta  $A_F$ . Prikazani su rezultati za sve tri konfiguracije iz Tablice 1. Radi preglednosti, konfiguracije koje odgovaraju težim i laskim fragmentima odvojeno su povezane iscrtkanim linijama.

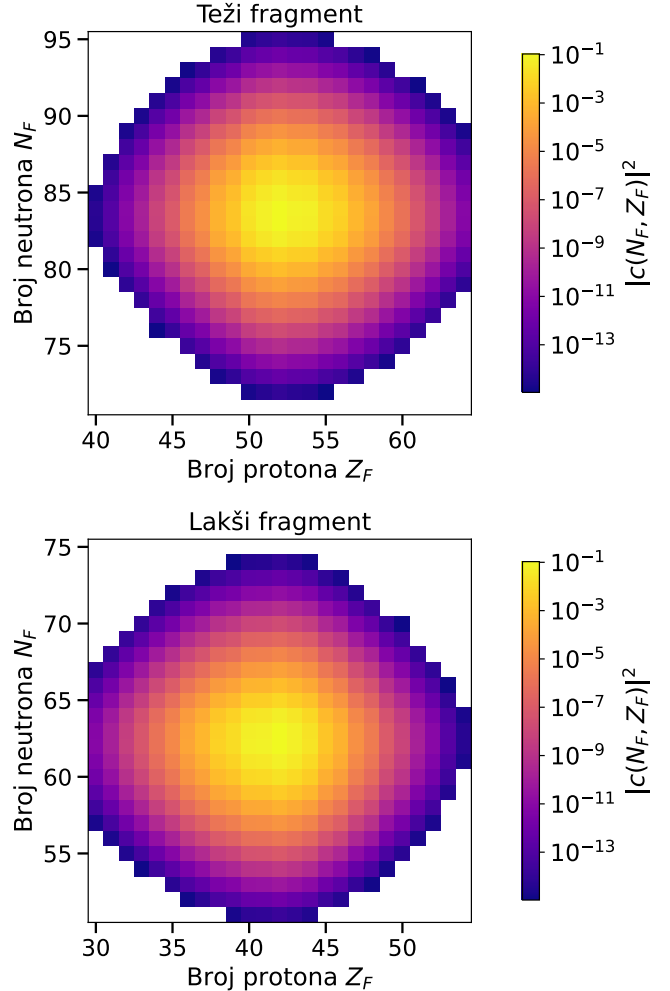
Nadalje, zanimljivo je uočiti da se minimum srednje vrijednosti angуларног момента као функције броја нептруна у фрагментима (панел 4(b)) и броја протона у фрагментима (панел 4(c)) налази у близини магијских бројева  $N = 82$  и  $Z = 50$ . Овде вља напоменути да су параметри модела одређени прилагодбом на empirijske податке о скупу атомских језгара у близини основног стања и, мањим дијелом, у близини прве физијске баријере. Чинjenica да модел предвиђа ефекте лјусака на очekivanim бројевима нептруна и протона и у физијским фрагментима nije тривijalna i потврђује njegovu prediktivnu moć.

Nedavna mјerenja [18] потврдила су да ovisnost srednjeg angуларног момента o masi fragmenta prati tzv. uzorak zuba pile (engl. *saw-tooth pattern*). Budući da je isti uzorak opažen za tri različite reakcije (dvije inducirane i jednu spontanu), predloženo je da je on univerzalan. Premda smo u ovome radu izračunali distribucije само triju konfiguracija, dobivena ovisnost (панел 4(d)) потпuno je konzistentna s eksperimentalno opaženim uzorkom. Sličan efekt prvi je put добiven микроскопским теоријским моделом u [15].

### 3.4 Raspodjela broja čestica u fisijskim fragmentima

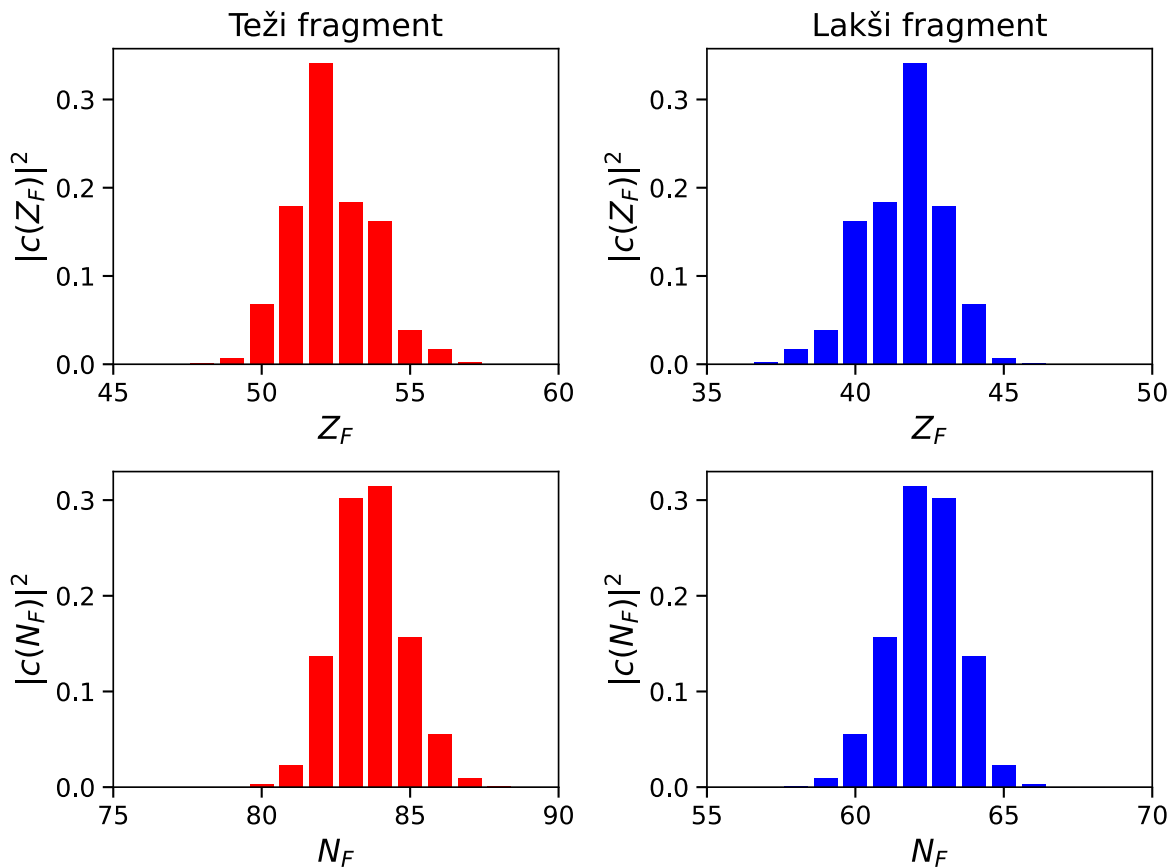
Osim raspodjele angуларног момента, фisijski фрагменти u našem modelu карактеризирани su i raspodjelom броја čestica. Za илустративни račun raspodjeli броја čestica u фрагментима, odabrali smo konfigurацију FF1 из Tablice 1. Integracijom jednočestične gustoće može se dobiti procjena броја čestica u svakom od фрагмената. Međutim, ovakav pristup daje necjelobrojne vrijednosti (Tablica 1). Budući da HFB stanje nije svojstveno stanje operatora броја čestica, puna raspodjela u броју protona i neutrona može se dobiti metodom projekcije (PNP). U ovome radu, primijenjena je istovremena projekcija na dobar број čestica u čitavoј jezgri te u jednom od фрагмената. Budući da se пројекције provode odvojeno u svakom izospinskom kanalu, ovakav pristup odgovara četverostrukoj пројекцији (jednadžba (26)). Pri пројекцији u čitavoј jezgri, задржана je само komponenta valne функције koja odgovara тоčном броју nukleona за  $^{240}\text{Pu}$ . Pri пројекцији u фрагментима, proučena je čitava raspodjela.

Na Slici 5 prikazani su grafovi dvostrukih raspodjele броја neutrona i protona (jednadžba (26)) za teži (горњи панел) i lakši (донji панел) фрагмент. По очекivanju, raspodjele pokazuju dosta široku raspršenost oko највероятнијих vrijedности. Ширина raspodjele u броју čestica povezana je s jakosti korelacija sparivanja, на сличан начин на који je raspodjela angуларног момента povezana s deformacijom.



Slika 5: Ukupna raspodjela броја protona i neutrona u težem ( gore ) i lakšem ( dolje ) фрагменту конфигурације FF1.

Slika 6 приказује одвојене raspodjeле добивене marginalizацијом dvostrukih raspodjeла по komplementарном изоспину (према jednadžbama (28) i (29)). Из тог графа могу се ишчитати највероятније vrijednosti  $N_F$  и  $Z_F$  за teži, односно лакши фрагмент. Као што је већ напоменуто, HFB конфигурација nije својствено stanje operatora броја čestica па се фрагменти сastoje od linearne kombinације компоненти са свим бројевима čestica видљивим на Slici 5. Ipak, максимум raspodjele odgovara броју добивеном integracijom gustoće. Vrijednosti  $Z_F$  добивене integracijom su 52.43 i 41.57, dakle ne razlikuju se значајно od vrijednosti које odgovaraju максимима пројекције, а то су  $Z_T = 52$  за teži и  $Z_L = 42$  за лакши фрагмент. Припадне vrijednosti за neutrone,  $N_T = 84$  и  $N_L = 62$ , također су готово jednakе omima које bi se dobole integracijom, 83.67 за teži и 62.33 за лакши фрагмент.



Slika 6: Raspodjela broja protona (gore) i broja neutrona (dolje) u težem (crveno) i lakšem (plavo) fragmentu konfiguracije FF1.

## 4 Zaključak

U ovom radu, metoda projekcije primjenjena je u računu raspodjela angularnog momenta u fizijskim fragmentima. Za tri konfiguracije na liniji cijepanja, pokazano je da srednja vrijednost angularnog momenta raste s deformacijom fragmenta. Osim toga, dobivena ovisnost o masi fragmenta u skladu je s eksperimentalno opaženim uzorkom zuba pile, a model uspješno predviđa i minimum srednjih vrijednosti angularnog momenta u blizini magičnih brojeva za protone i neutrone. Projekcijom na dobar broj čestica dobivene su raspodjele čiji maksimumi odgovaraju brojevima čestica dobivenim integracijom gustoće u fragmentima.

U nastavku istraživanja, račun bi trebalo proširiti s tri na stotinjak konfiguracija. Kombiniranjem projekcije na angularni moment i broj čestica, te uključivanjem dinamičkih efekata putem vremenski ovisne metode generirajućih koordinata, mogle bi se dobiti raspodjele angularnog momenta za sve kombinacije broja čestica u fizijskim fragmentima. To bi bio prvi takav rezultat temeljen na mikroskopskoj teoriji.

## Zahvale

Ovaj rad izrađen je pod vodstvom docenta Petra Marevića na Zavodu za teorijsku fiziku Fizičkog odsjeka Prirodoslovno-matematičkog fakulteta u Zagrebu. Zahvaljujem se mentoru dr.sc. Mareviću na trudu i vremenu koje je uložio kako bi prenio znanje i dao korisne savjete potrebne za izradu ovog rada.

## Literatura

- [1] P. Talou i R. Vogt. *Nuclear Fission: Theories, Experiments and Applications*. Springer, Berlin, 2023. ISBN: 978-3031145445.
- [2] N. Schunck i D. Regnier. „Theory of Nuclear Fission”. *Progress in Particle and Nuclear Physics* 125.103963 (2022.). DOI: <https://doi.org/10.1016/j.ppnp.2022.103963>.
- [3] N. Bohr i J.A. Wheeler. „The Mechanism of Nuclear Fission”. *Phys. Rev.* 56.426 (1939.). DOI: <https://doi.org/10.1103/PhysRev.56.426>.

- [4] M. Bender, P.-H. Heenen i P.-G. Reinhard. „Self-consistent mean-field models for nuclear structure”. *Rev. Mod. Phys.* 75.121 (2003.). DOI: <https://doi.org/10.1103/RevModPhys.75.121>.
- [5] L.M. Robledo, T.R. Rodríguez i R.R. Rodríguez-Guzmán. „Mean field and beyond description of nuclear structure with the Gogny force: a review”. *J. Phys. G: Nucl. Part. Phys.* 46.013001 (2019.). DOI: [10.1088/1361-6471/aadebd](https://doi.org/10.1088/1361-6471/aadebd).
- [6] T. Nikšić, D. Vretenar i P. Ring. „Relativistic nuclear energy density functionals: Mean-field and beyond”. *Progress in Particle and Nuclear Physics* 66 (2011.), str. 519–548. DOI: <https://doi.org/10.1016/j.ppnp.2011.01.055>.
- [7] C. Simenel. „Nuclear quantum many-body dynamics”. *Eur. Phys. J. A* 48.152 (2012.). DOI: <https://doi.org/10.1140/epja/i2012-12152-0>.
- [8] T. Nakatsukasa, K. Matsuyanagia, M. Matsuo i K. Yabana. „Time-dependent density-functional description of nuclear dynamics”. *Rev. Mod. Phys.* 88.045004 (2016.). DOI: <https://doi.org/10.1103/RevModPhys.88.045004>.
- [9] A. Baran i dr. „Fission barriers and probabilities of spontaneous fission for elements with  $Z \geq 100$ ”. *Nucl.Phys.A* 944.442-470 (2015.). DOI: <https://doi.org/10.1016/j.nuclphysa.2015.06.002>.
- [10] H. Goutte, P. Casoli i J.-F. Berger. „Mass and kinetic energy distributions of fission fragments using the time dependent generator coordinate method”. *Nucl.Phys.A* 734.217-220 (2004.). DOI: <https://doi.org/10.1016/j.nuclphysa.2004.01.038>.
- [11] D. Regnier, N. Dubray, N. Schunck i M. Verrière. „Fission fragment charge and mass distributions in  $^{239}\text{Pu}(n,f)$  in the adiabatic nuclear energy density functional theory”. *Phys. Rev. C* 93.054611 (2016.). DOI: <https://doi.org/10.1103/PhysRevC.93.054611>.
- [12] W. Younes i D. Gogny. „Nuclear Scission and Quantum Localization”. *Phys. Rev. Lett.* 107.132501 (2011.). DOI: <https://doi.org/10.1103/PhysRevLett.107.132501>.
- [13] A. Bulgac, P. Magierski, K.J. Roche i I. Stetcu. „Induced Fission of  $^{240}\text{Pu}$  within a Real-Time Microscopic Framework”. *Phys. Rev. Lett.* 116.122504 (2016.). DOI: <https://doi.org/10.1103/PhysRevLett.116.122504>.
- [14] A. Bulgac i dr. „Fission Fragment Intrinsic Spins and Their Correlations”. *Phys. Rev. Lett.* 126.142502 (2021.). DOI: <https://doi.org/10.1103/PhysRevLett.126.142502>.
- [15] P. Marević, N. Schunck, J. Randrup i R. Vogt. „Angular momentum of fission fragments from microscopic theory”. *Phys. Rev. C* 104.L021601 (2021.). DOI: <https://doi.org/10.1103/PhysRevC.104.L021601>.
- [16] A. Bulgac, I. Abdurrahman, K. Godbey i I. Stetcu. „Fragment Intrinsic Spins and Fragments’ Relative Orbital Angular Momentum in Nuclear Fission”. *Phys. Rev. Lett.* 128.022501 (2022.). DOI: <https://doi.org/10.1103/PhysRevLett.128.022501>.
- [17] G. Scamps, I. Abdurrahman, M. Kafker, A. Bulgac i I. Stetcu. „Spatial orientation of the fission fragment intrinsic spins and their correlations”. *Phys. Rev. C* 108.L061602 (2023.). DOI: <https://doi.org/10.1103/PhysRevC.108.L061602>.
- [18] J.N. Wilson i dr. „Angular momentum generation in nuclear fission”. *Nature* 590.566-570 (2021.). DOI: <https://doi.org/10.1038/s41586-021-03304-w>.
- [19] J. Randrup i R. Vogt. „Calculation of fission observables through event-by-event simulation”. *Phys. Rev. C* 80.024601 (2009.). DOI: <https://doi.org/10.1103/PhysRevC.80.024601>.
- [20] P. Talou i dr. „Fission fragment decay simulations with the CGMF code”. *Comput.Phys.Commun.* 269.108087 (2021.). DOI: <https://doi.org/10.1016/j.cpc.2021.108087>.
- [21] Nicolas Schunck. *Energy Density Functional Methods for Atomic Nuclei*. IOP Publishing Ltd, 2019. ISBN: 978-0-7503-1422-0.
- [22] J.A. Sheikh, J. Dobaczewski, P. Ring, L.M. Robledo i C. Yannouleas. „Symmetry restoration in mean-field approaches”. *J. Phys. G: Nucl. Part. Phys.* 48.123001 (2021.). DOI: <https://doi.org/10.1088/1361-6471/ac288a>.
- [23] D.A. Varshalovich, A.N. Moskalev i V.K. Kherzonskii. *Quantum Theory Of Angular Momentum*. World Scientific Publishing Company, 1988. ISBN: 9789814415491.
- [24] M. Verriere, N. Schunck i D. Regnier. „Microscopic calculation of fission product yields with particle-number projection”. *Phys. Rev. C* 103.054602 (2021.). DOI: <https://doi.org/10.1103/PhysRevC.103.054602>.
- [25] P. Marević i dr. „Axially-deformed solution of the Skyrme-Hartree-Fock-Bogoliubov equations using the transformed harmonic oscillator basis (IV) hf-btho (v4.0): A new version of the program”. *Comput.Phys.Commun.* 276.108367 (2022.). DOI: <https://doi.org/10.1016/j.cpc.2022.108367>.

- [26] J. Bartel, P. Quentin, M. Brack, C. Guet i H.-B. Håkansson. „Towards a better parametrisation of Skyrme-like effective forces: A critical study of the SkM force”. *Nucl.Phys.A* 386.79 (1982.). DOI: [https://doi.org/10.1016/0375-9474\(82\)90403-1](https://doi.org/10.1016/0375-9474(82)90403-1).
- [27] K. Nishio, Y. Nakagome, I. Kanno i I. Kimura. „Measurement of Fragment Mass Dependent Kinetic Energy and Neutron Multiplicity for Thermal Neutron Induced Fission of Plutonium-239”. *J. Nucl. Sci. Technol.* 32.404-414 (1995.). DOI: <https://doi.org/10.1080/18811248.1995.9731725>.